

CT 多平面重建后处理对指导膝关节交叉韧带 MRI 的临床价值

黄昀桀¹, 陈兵¹, 程松苗², 张滔¹, 王威¹

(四川省骨科医院, 1. 医学影像科; 2. 膝关节运动损伤科, 四川 成都 610041)

【摘要】目的: 探讨 CT 多平面重建后处理在指导膝关节交叉韧带磁共振成像 (MRI) 中的临床价值。**方法:** 选取 188 例同时接受 CT 多平面重建后处理及 MRI 检查的膝关节交叉韧带损伤患者为研究对象。比较 CT 多平面重建后处理与 MRI 对前、后交叉韧带不同平面的成像率, 分析 CT 及 MRI 成像对各类前、后交叉韧带损伤的检出率。**结果:** CT 对前交叉韧带斜矢状面、斜冠状面、后交叉韧带正中矢状面的 I 级成像率分别为 97.34%、98.94%、99.47%; MRI 分别为 98.94%、100%、98.94%, 两种方法对前、后交叉韧带不同平面的 I 级成像率比较, 差异无统计学意义 ($P > 0.05$); CT 及 MRI 对各类前、后交叉韧带损伤的总检出率分别为 94.68%、95.74%, 联合诊断的总检出率为 100%。**结论:** CT 多平面重建后处理可指导膝关节交叉韧带 MRI 的最佳方位, 提高诊断效能。

【关键词】 膝关节; 交叉韧带; 磁共振成像; CT 多平面重建后处理

【中图分类号】 R686.5 **【文献标志码】** A

Clinical value of post-processing technique of CT multiplanar reconstruction in guiding MRI of the knee cruciate ligament

HUANG Yun-jie¹, CHEN Bing¹, CHENG Song-miao², ZHANG Tao¹, WANG Wei¹

(1. Department of Medical Imaging; 2. Department of Knee Sports Injury, Sichuan Orthopaedic Hospital, Chengdu 610041, Sichuan, China)

【Abstract】Objective: To investigate the clinical value of post-processing technique of CT multiplanar reconstruction in guiding magnetic resonance imaging (MRI) of the knee cruciate ligament. **Methods:** 188 patients with cruciate ligament injury of knee joint who received CT multiplanar reconstruction post-processing and MRI examination at the same time were selected as research objects. The imaging rates of different planes of the anterior and posterior cruciate ligaments were compared between post-processing of CT multiplanar reconstruction and MRI. The detection rates of various anterior and posterior cruciate ligament injuries by post-processing of CT multiplanar reconstruction and MRI were analyzed. **Results:** The grade I imaging rates of CT for the oblique sagittal plane, oblique coronal plane, and midsagittal plane of the posterior cruciate ligament were 97.34%, 98.94% and 99.47%, respectively. The rates of MRI were 98.94%, 100% and 98.94%, respectively. The results showed the differences were not statistically significant difference ($P > 0.05$). The total detection rates of knee cruciate ligament injury by CT and MRI were 94.68% and 95.74%, respectively. The total detection rate of combined diagnosis was 100%. **Conclusion:** Post-processing of CT multiplanar reconstruction can help to choose the optimal position for MRI of the knee cruciate ligament, and improve the diagnostic efficiency.

【Key words】 Knee; Cruciate ligament; Magnetic resonance imaging; Post-processing of CT multiplanar reconstruction

膝关节交叉韧带损伤主要由急性外伤或慢性劳损引起, 患者表现为膝关节疼痛、肿胀, 常伴随关节积液, 严重影响行走^[1-2]。MRI 可清楚显示膝关节韧带与周围组织的软组织的对比度, 但是由于膝关节解剖结构复杂, 仅依靠 MRI 无法完全显影三维立体结构, 导致漏诊或误诊^[3-4]。CT 多平面重建后处理对 CT 进行三维成像加工, 成像质量大大提升, 多

方位成像具有更好的空间分辨力^[5-6]。通过 CT 多平面重建后处理技术可以探寻膝关节交叉韧带成像的最佳方位, 指导交叉韧带 MRI 扫描, 从而提高交叉韧带 MRI 图像的显示程度。目前 CT 多平面重建对交叉韧带损伤的应用研究尚处于起步阶段^[7], 可行性及有效性有待验证。本研究旨在探讨 CT 多平面重建对指导交叉韧带 MRI 的价值。

1 资料与方法

1.1 一般资料

选取2020年5月至2022年4月四川省骨科医院收治的188例同时接受CT多平面重建后处理及MRI检查的膝关节交叉韧带损伤患者为研究对象,其中男性130例,女性58例;年龄 (34.25 ± 6.74) 岁;受伤原因:交通事故84例,运动受伤74例,跌倒扭伤30例。纳入标准:(1)年龄 ≥ 18 岁;(2)符合膝关节交叉韧带损伤的诊断标准^[8];(3)CT及MRI资料齐全。排除标准:(1)CT增强检查禁忌证,如碘过敏、严重甲状腺毒症、重症肌无力等;(2)MRI禁忌证;(3)CT或MRI成像质量差。

1.2 方法

1.2.1 CT检查 仪器为SOMATOM Definition AS+64排螺旋CT(德国西门子公司)。患者仰卧位,下肢自然放置,屈膝 15° 。先进行多层螺旋CT平扫,下肢足先进,双臂上举。扫描参数:层厚2 mm,层间距2 mm,视野14~20 cm,扫描时间14~18 s,重建层厚1.25 mm,间隔1.25 s,进行三维重建。根据每名患者不同的肢体情况,多方位调整可获得最佳层面,观察膝关节交叉韧带的走行特征。选择透明三维重组和最大密度投影做容积再现。

1.2.2 MRI检查 采用GE MR SIGNA Architect 3.0 T核磁共振(美国通用电气公司)。扫描层厚为5 mm,间距为1 mm,扫描序列为T1WI、T2WI, T1WI斜矢状面的重复时间为440 s,回波时间为16 s; T2WI斜矢状面的重复时间为4 200 s,回波时间为93 s;斜冠状面的重复时间为4 300 s,回波时间为104 s。

1.2.3 影像学结果评价 CT多平面重建后处理成像及MRI成像结果均由两名影像学医师独立诊断。

对比CT多平面重建后处理与MRI对前、后交叉韧带不同平面的成像率。I级表示在1个层面能完整显示交叉韧带的解剖学结构。II级表示在2~3个连续层面能完整显示交叉韧带的解剖学结构。

1.3 观察指标

(1)影像学表现:包括CT和MRI;(2)CT与MRI对前、后交叉韧带不同平面的成像;(3)CT及MRI对各类前、后交叉韧带损伤的检出率。

1.4 统计学分析

采用SPSS 22.0软件对数据进行分析与处理。计数资料以 $[n(\%)]$ 表示,采用 χ^2 检验或Fisher精确概率法。 $P < 0.05$ 为差异有统计学意义。

2 结果

2.1 影像学表现

前、后交叉韧带在不同成像位置上的形态学具有一定差异,前交叉韧带在未损伤情况下呈索带状低信号结构,边缘清晰,韧带损伤后显示为连续性中断,交叉韧带周围呈混合信号影,结构紊乱。矢状面T1WI可显示交叉韧带损伤部位呈中低信号,韧带边缘模糊不清。T2WI可显示交叉韧带损伤部位呈高信号,混杂低信号碎片,可伴有韧带松弛特征。后交叉韧带呈现弓形向后突起的条带状影,胫骨端膨大呈横椭圆形的结节影。韧带损伤后表现为连续性中断,断端可有低信号块状影,韧带边缘欠清晰,T1WI可显示交叉韧带损伤部位呈中低信号,T2WI呈高信号。若发生撕脱性骨折,韧带附着点处可见游离的碎骨片影。膝关节交叉韧带信号随受伤时间变化,亚急性交叉韧带撕裂T2WI由高信号转变为中低信号,韧带损伤边界较清楚。慢性损伤的交叉韧带周围信号由高信号转变为中低信号,可见大量疤痕形成,韧带结构紊乱。见图1。

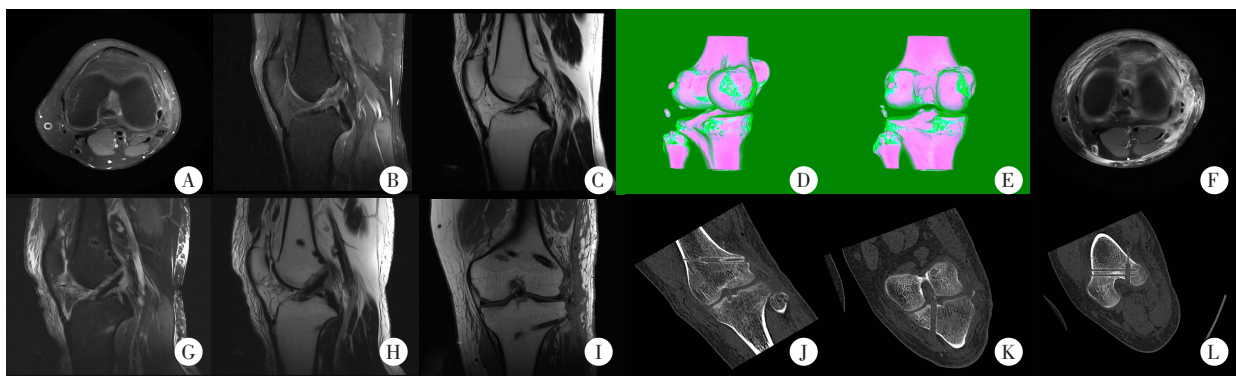


图1 影像学表现(男性,19岁,左膝关节伤痛3个月,3个月前车祸致右膝损伤)

A-C.术前MRI:左膝前交叉韧带近端结构紊乱、信号增高;D-E.术前CT:左膝外侧缘见两粒游离骨影,边缘较光滑,关节对应关系良好;F-I.术后MRI:左膝前交叉韧带重建术后,重建韧带形态、信号未见确切异常,股胫骨骨隧道影及隧道周围骨髓水肿;J-L.术后CT:左膝前交叉韧带重建术后,可见隧道影,隧道开口位置明确。

2.2 CT 与 MRI 对前、后交叉韧带不同平面的成像比较

CT 对前交叉韧带斜矢状面的 I 级成像率为 97.34%，对前交叉韧带斜冠状面的 I 级成像率为 98.94%，对后交叉韧带正中矢状面的 I 级成像率为 99.47%。MRI 对前交叉韧带斜矢状面的 I 级成像

率为 98.94%，对前交叉韧带斜冠状面的 I 级成像率为 100%，对后交叉韧带正中矢状面的 I 级成像率为 98.94%。CT 与 MRI 对前、后交叉韧带不同平面的 I 级成像率比较，差异无统计学意义 ($P > 0.05$)。见表 1。

表 1 CT 与 MRI 对前、后交叉韧带不同平面的成像比较 [n(%)]

检测方法	前交叉韧带斜矢状面		前交叉韧带斜冠状面		后交叉韧带正中矢状面	
	I 级	II 级	I 级	II 级	I 级	II 级
CT	183(97.34)	5(2.66)	186(98.94)	2(1.06)	187(99.47)	1(0.53)
MRI	186(98.94)	2(1.06)	188(100.00)	0	186(98.94)	2(1.06)
χ^2 值	0.582		0.503		0.336	
P 值	0.445		0.478		0.562	

2.3 CT 及 MRI 对各类前、后交叉韧带损伤的检出率比较

对于前交叉韧带断裂,CT 与 MRI 的检出率分别为 96.49% 和 98.25%，差异无统计学意义 ($P > 0.05$)。对于后交叉韧带断裂,CT 与 MRI 的检出率分别为 93.48% 和 95.65%，差异无统计学意义 ($P > 0.05$)。对于前、后交叉韧带断裂合并止点撕脱骨折,CT 的检出率均为 100%，MRI 的检出率为

100% 和 95.00%，差异无统计学意义 ($P > 0.05$)。对于前、后交叉韧带断裂合并半月板损伤,CT 的检出率为 86.36% 和 92.00%，MRI 的检出率为 90.91% 和 92.00%，差异无统计学意义 ($P > 0.05$)。CT 的总检出率为 94.68%，MRI 的总检出率为 95.74%，联合诊断的总检出率为 100%。CT 与 MRI 的总检出率差异无统计学意义 ($\chi^2 = 0.233, P = 0.629$)。见表 2。

表 2 CT 及 MRI 对各类前、后交叉韧带损伤的检出率比较 [n(%)]

检查方法	前交叉	前交叉韧带断裂		后交叉	后交叉韧带断裂		合计
	韧带断裂(n=57)	合并止点撕脱骨折(n=18)	合并半月板损伤(n=22)	韧带断裂(n=46)	合并止点撕脱骨折(n=20)	合并半月板损伤(n=25)	
CT	55(96.49)	18(100.00)	19(86.36)	43(93.48)	20(100.00)	23(92.00)	178(94.68)
MRI	56(98.25)	18(100.00)	20(90.91)	44(95.65)	19(95.00)	23(92.00)	180(95.74)
联合诊断	57(100.00)	18(100.00)	22(100.00)	46(100.00)	20(100.00)	25(100.00)	188(100.00)

3 讨论

膝关节交叉韧带可维持膝关节稳定,具有紧张、松弛作用,共同制约膝关节的过伸过屈活动,从而保护膝关节,避免发生骨折、关节软骨损伤等^[9-11]。患者一般表现为膝关节疼痛、活动受限,临床表现复杂难以鉴别诊断。X 线检查仅能发现膝关节部位是否存在骨折,无法检出软组织损伤。MRI 具有高对比度的特点,十分适合软组织显影,因此被视为膝关节交叉韧带损伤的最佳诊断方法^[12]。本研究发现,交叉韧带损伤 MRI 表现为 T1WI 低中信号,韧带连续性中断,边缘欠清晰,T2WI 则为高信号,与既往研究^[13-15]报道相符。

本研究结果显示,CT 对前交叉韧带斜矢状面、斜冠状面、后交叉韧带正中矢状面的 I 级成像率分别为 97.34%、98.94%、99.47% ; MRI 对前交叉韧

带斜矢状面、斜冠状面、后交叉韧带正中矢状面的 I 级成像率分别为 98.94%、100%、98.94%，CT 与 MRI 对前、后交叉韧带不同平面的 I 级成像率差异无统计学意义 ($P > 0.05$)，说明 CT 多平面重建后处理技术成像与 MRI 成像基本一致。孙小煜等^[16]研究也发现两者检出率无差别，MRI 具有良好的软组织分辨率^[17]，CT 多平面重建空间立体感更好^[18]，各有优势。膝关节组织结构复杂，尤其是韧带损伤合并骨折，显影不全，会降低 MRI 成像质量。CT 具有良好的空间分辨力和密度分辨力，通过 CT 多平面重建后处理技术，多方位、多角度、连续性地观察膝关节交叉韧带，可以作为 MRI 扫描的补充。CT 多平面重建后处理指导 MRI 成像的可能机制为 CT 扫描各个断层面上的图像，通过多平面重建后处理技术将二维图像建立成三维图像，增强立体感，突显周围组织的毗邻关系，从而诊断膝关节交叉韧带损

伤及是否伴随止点撕脱骨折、半月板损伤。目前临床应用的多平面重建技术可以进行任何方位的图像重建,重现三维立体结构,诊断更加直观清晰^[19-20]。通过 CT 多平面重建后处理技术可以探寻膝关节交叉韧带成像的最佳方位,指导交叉韧带 MRI 扫描,提高交叉韧带 MRI 图像的显示程度,故两种方法联合诊断将膝关节交叉韧带的总体检出率提高至 100%。本研究发现,CT 多平面重建对交叉韧带损伤的总检出率为 94.68%,MRI 对膝关节交叉韧带损伤的总检出率为 95.74%,联合诊断的总检出率提高至 100%,提高了诊断率,对于膝关节交叉韧带 MRI 成像具有重要的指导意义。

综上,CT 多平面重建后处理技术可以清楚地显示膝关节三维立体空间结构,有助于指导膝关节交叉韧带 MRI 成像的最佳方位,提高诊断效能,值得临床推广应用。

参考文献

- [1] Kohn L, Rembeck E, Rauch A. Anterior cruciate ligament injury in adults :diagnostics and treatment[J]. *Orthopade*,2020,49(11):1013-1028.
- [2] Stone AV, Marx S, Conley CW. Management of partial tears of the anterior cruciate ligament: a review of the anatomy, diagnosis, and treatment[J]. *J Am Acad Orthop Surg*,2021,29(2):60-70.
- [3] Zhao M, Zhou Y, Chang J, et al. The accuracy of MRI in the diagnosis of anterior cruciate ligament injury [J]. *Ann Transl Med*, 2020,8(24):1657-1660.
- [4] Roemer FW, Lohmander LS, Englund M, et al. Development of MRI-defined structural tissue damage after anterior cruciate ligament injury over 5 years: the kanon study [J]. *Radiology*,2021,299(2):383-393.
- [5] Ji C, Chen Y, Zhu L, et al. Arthroscopic anterior cruciate ligament injury in clinical treatment of joint complications and CT observation [J]. *J Healthc Eng*,2021,2(22):46-47.
- [6] Chen Z, Xu J, Shen Y, et al. Application of CT medical imaging combined with deep learning 3D reconstruction in the diagnosis and rehabilitation of anterior cruciate ligament injury in table tennis players [J]. *J Healthc Eng*,2021,12(17):68-75.
- [7] 林玉琳,林建忠,肖东健.磁共振成像与 CT 在膝关节交叉韧带损伤诊治重建中的效果 [J]. *实用医学影像杂志*,2019,20(1):56-57.
- [8] 刘俊建.骨折诊治临床指南 [J]. *第二军医大学学报*,2014,35(7):807-815.
- [9] Hassebrock JD, Gulbrandsen MT, Asprey WL, et al. Knee Ligament Anatomy and Biomechanics [J]. *Sports med arthrosc rev*,2020,28(3):80-86.
- [10] Sauer S, Clatworthy M. Editorial commentary: increased tibial slope is associated with anterior cruciate ligament injury risk, and tibial slope increases in the skeletally immature, anterior cruciate ligament-deficient knee: a chicken or egg causality dilemma [J]. *Arthroscopy*,2021,37(8):2589-2590.
- [11] Larwa J, Stoy C, Chafetz RS, et al. Stiff landings, core stability, and dynamic knee valgus: a systematic review on documented anterior cruciate ligament ruptures in male and female athletes [J]. *Int J Environ Res Public Health*,2021,18(7):3826-3830.
- [12] 王梅,徐宏刚,张晓东.基于 MRI 深度学习在膝关节前交叉韧带损伤的研究进展 [J]. *磁共振成像*,2022,13(4):166-170.
- [13] 王梅.膝关节前后交叉韧带损伤 MRI 不同序列诊断分析 [J]. *影像技术*,2021,33(6):17-22.
- [14] Sánchez EA, Lim T, Alonso JL, et al. Identifying clinical and MRI characteristics associated with quality of life in patients with anterior cruciate ligament injury: prognostic factors for long-term [J]. *Int J Environ Res Public Health*,2021,18(23):1284-1285.
- [15] Blokker AM, Wood R, Milner JC, et al. Novel quantification of the regional strain distribution in the anterior cruciate ligament in response to simulated loading using micro-CT imaging [J]. *J Exp Orthop*,2021,8(1):95-97.
- [16] 孙小煜,宋璐,张雪峰,等.应用 MRI、MSCT 检查在外伤性膝关节交叉韧带损伤诊治中临床价值研究 [J]. *中国 CT 和 MRI 杂志*,2021,19(9):180-182.
- [17] 欧阳中敏,朱光斌,彭艳,等. MRI 在膝关节外伤后前后交叉韧带损伤诊断中的价值分析 [J]. *中国设备工程*,2021,15:209-210.
- [18] 王伟.磁共振成像联合多层螺旋 CT 对踝关节外侧韧带损伤检出率的影响 [J]. *河南医学研究*,2021,30(6):1111-1113.
- [19] Chen M, Qin L, Li M, et al. Correlation analysis between femoral trochlear dysplasia and anterior cruciate ligament injury based on CT measurement [J]. *Quant Imaging Med Surg*,2020,10(4):847-852.
- [20] Tank S, Dutt S, Sehrawat R, et al. 3D CT evaluation of femoral and tibial tunnels in anatomic double bundle anterior cruciate ligament reconstruction [J]. *J Clin Orthop Trauma*,2020,17(15):22-26.

(收稿日期:2022-07-19)

修回日期:2022-09-02)